

Kőzettestek GSI szerinti osztályozásának lehetősége kvalitatív módszerrel

Készítette: Hideg Gergely

| | |
|---|----|
| 1. Bevezetés..... | 2 |
| 2. Geológiai Szilárdsági Index (GSI) | 4 |
| 3. A GSI értékének meghatározása kvantitatív módszerekkel | 7 |
| 3.1 RMR alapú számítások: | 7 |
| 3.2 <i>Q</i> alapú számítások: | 7 |
| 3.3 <i>RMi</i> alapú számítások: | 8 |
| 4. Integrál-geometriai módszer bemutatása..... | 9 |
| 4.1 Mérési módszer..... | 9 |
| 4.2 Tagoltság megnyílása, hézagterfogat..... | 13 |
| 4.3 Rész élének hossza | 14 |
| 5. GSI értékének meghatározása az Integrálgeometriai módszer segítségével | 21 |
| 6. Vizsgált területek geológiai bemutatása..... | 25 |
| 6.1 Csobánka Csúcs-hegyi kőfejtő..... | 25 |
| 6.2 Csobánka Csobánkai út felhagyott kőfejtője | 27 |
| 6.3 Gánt Újfeltárás..... | 29 |
| 7. A területeken mért GSI értékek ismertetése..... | 32 |
| 7.1 Csúcs-hegyi kőfejtő..... | 33 |
| 7.2 Csobánkai út felhagyott kőfejtő..... | 36 |
| 7.3 Gánt Újfeltárás..... | 39 |

1. Bevezetés

A mérnökgeológia egyik leginkább kutatott irányzata napjainkban a kőzettestek osztályozásának, minősítésének lehetősége. Erre azért van nagy szükség, mert míg az ép kőzetet (kőzettömböt) laboratóriumi körülmények között kellő mélységig lehet vizsgálni, tulajdonságait elemezni, addig a tagoltságokat, különböző okokból létrejött diszlokációkat tartalmazó kőzettest minősítése mai napig nem egyértelmű. Különböző terhelések hatására a sokszor erősen tektonizált szerkezetek, változékony alakváltozást mutatnak, ill. eltérő mechanikai tulajdonságok figyelhetőek meg. Mérnökgeológiai szempontból az ilyen heterogén kőzettestek osztályozása okoz nagy gondot. A különböző földtani paramétereket meghatározó módszer kidolgozása kulcsfontosságú mérnöki szempontból, az osztályozás segítségével következtethetünk a kőzettest mechanikai tulajdonságaira, melynek segítségével a kőzetkörnyezetben tervezett mérnöki tevékenységek számolhatók, modellezhetőek.

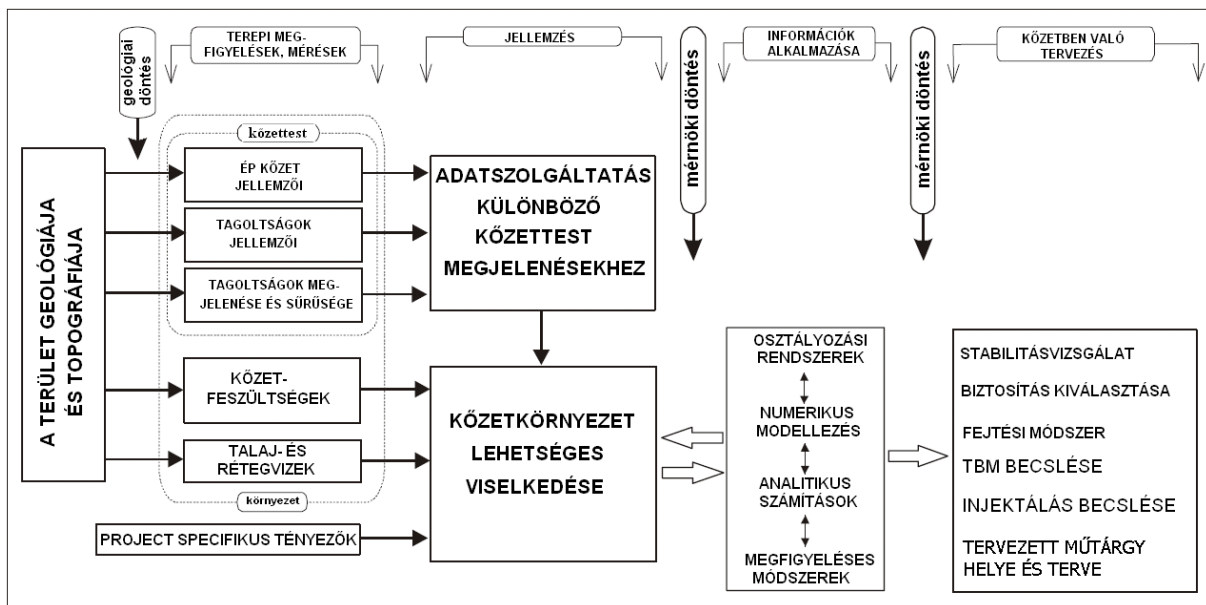
Az utóbbi 50 évben számos módszert fejlesztettek ki a kőzettestek osztályozására, ilyen például a Bieniawski (1973) által bevezetett RMR-módszer, valamint a Norvég Geotechnikai Intézet által kifejlesztett Q-módszer (Barton et al. 1974). Ezen osztályozási módszerek kimondott célja a kőzettest minősítése az alagút építéséhez. A két módszer abban tér el jelentősen egymástól, hogy míg az RMR módszer sekély vezetésű tagolt kőzettest esetén alkalmazható jól, a Q módszer főleg mély vezetésű, nagy in situ feszültség viszonyok esetén optimális. Mivel kidolgozásuk a 70-es évek tapasztalatain alapult, nem vették, nem is vehették figyelembe, nem határozták meg a számítógépes modellezéshez szükséges paramétereket (Gálos és Vásárhelyi, 2006; Vásárhelyi 2016).

Ezt a hiányosságot próbálja orvosolni a Geológiai Szilárdsági Index (GSI), mely a heterogén kőzetkörnyezet leírására is jól alkalmazható (ld: Hoek et al, 1998; Marinos és Hoek, 2000; Marinos és Hoek, 2001). Ezen kőzettest osztályozás elsődleges célja nem az alagútépítés empirikus módon való méretezése, mint az RMR és a Q-módszereknek, hanem a kőzet minőségének számszerűsített értékének a megadása.

A mérnökgeológia feladata, hogy a kőzetkörnyezet anyagi tulajdonságait ismertesse illetve azokra vonatkozóan a mérnöki munka számára használható értékeket írjon fel. Ezen kőzetkörnyezeti tényezők ismerete mutatja meg az adott terület földtani környezete és az oda tervezett mérnöki létesítmény kölcsönhatását. A kőzetkörnyezet számszerűsített értékének

megállapításához a mérnöki és geológusi munka összehangolása elengedhetetlen. Az **1. ábra** a kőzetmechanikában használatos méréseket, megfigyeléseket és osztályozásokat tartalmazza, illetve az adott munkakörök fontosabb feladatait.

Látható, hogy az eredményes munka a különböző szakterületek együttes kezelését követeli meg.



1. ábra Megfigyelések, mérések és osztályozások alkalmazása a kőzetmechanikában

Fontos azonban elkülönítenünk a mérnöki feladatkört a geológus méréseitől és megfigyeléseitől. Egy adott terület topográfiájának meghatározása mindenképp a geológus munkakörébe tartozik, illetve terepi megfigyelések és mérések alapján adott kőzettest, kőzettömb jellemzőinek megadása. Fontos, hogy a környezeti viszonyokat is figyelembe vegye, hiszen ezen adatok ismeretében hasznos következtetések vonhatóak le a kőzetkörnyezet jövőbeli viselkedésével kapcsolatban. A kapott adatok felhasználásával adott osztályozási rendszerek, számítások és numerikus modellezés a mérnöki munka fontos elemét képezi. Tervezés ezen szakaszában nyújtanak segítséget a különböző mérnöki vizsgálatok, illetve becslések.





2. Geológiai Szilárdsági Index (GSI)

A Geológiai Szilárdsági Indexet (Geological Strength Index – GSI) Hoek (1994), illetve Hoek et al. (1995) vezették be azzal a céllal, hogy a különböző geológiai állapotban lévő kőzettesteket leírassák (magyarul először: Vásárhelyi, 2001, valamint hazai alkalmazhatóságát részletesen Görög et al, 2010 tárgyalja). Ezen érték bevezetését az indokolta, hogy rossz minőségű kőzetek leírására az eddigi módszerek nem voltak megfelelőek – az RMR érték a gyakorlat alapján 30 alatt nem adott jó eredményt, illetve a kis tartományban meghatározása nagyon nehéz volt. Mind az RMR, mind a Q tényezőnél az RQD érték bemenő adatként szerepel, ami azt eredményezi, hogy nagyon töredezett kőzettest esetén 0-t kell felvenni, míg a helyszíni tapasztalatok alapján jóval jobb szilárdsági tulajdonsággal rendelkeztek. Ismeretes, hogy a tagolt kőzettest szilárdsága függ az ép kőzet anyagtulajdonságaitól, továbbá a kőzettömbök szabadsági fokától (azaz csúszási és elfordulási lehetőségétől). Ezt a szabadsági fokot befolyásolja mind a kőzettömb geometriai alakja, mind a határoló tagoló felületek minősége, azaz egy tiszta, érdes tagoló felületekkel rendelkező kőzettest jóval nagyobb szilárdsággal rendelkezik, mint amelynek mállottak és töredezettek a határoló tagoló felületei.

Ebből kiindulva szerkesztették meg először az 2. ábrát, ahol a mátrix oszlopában a kőzettest tagoltsági viszonyai szerepelnek, azaz, hogy milyen sűrűséggel vannak a tagoló felületek a kőzettestben. A tagoló felület állapotától függ a mátrix sora. A GSI értéke ezek alapján 0 és 100 között változhat: 0 esetén kohézió nélküli – azaz szemcsés – talajt kapunk, ahol az elmélet nem használható. $GSI = 100$ esetén nincs tagoló felület, tehát a kőzettest és a kőzettömb megegyeznek. Az osztályozásban sem a talajvizet, sem a helyszíni feszültségviszonyokat nem veszik figyelembe, mivel azok külön bemenő adatként szerepelnek a számítási modellekben. Tekintettel arra, hogy a GSI tényező a később bemutatásra kerülő Hoek-Brown törésmélelet egyik bemenő paramétere, ugyancsak figyelmen kívül hagyják az ép kőzet egyirányú nyomószilárdságát – az a törési képletnél külön szerepel.

A GSI érték meghatározását folyamatosan aktualizálták a különböző helyeken megvalósulásra kerülő projektek tapasztalatai alapján. A 3. ábrát gyenge szilárdságú

kőzetekre fejlesztették ki, Magyarországon a GSI értékének meghatározását, eocén kori budai márgára való kiterjesztését Görög (2007) dolgozta ki.

| GEOLÓGIAI SZILÁRDSÁGI INDEX (GSI) | | TAGOLÓFELÜLET ÁLLAPOTA | | | | | | | |
|---|---|---|----|----|----|----|----|----|----|
| SZERKEZET | | CSÖKKENŐ FELÜLETI MINŐSÉG ▽ | | | | | | | |
|  | BLOKKOS - nagyon jól összekapcsolódó ép kőzettest, mely kocka-tömböket tartalmaz melyeket 3 orthogonális diszkontinuitás szabdal | 80 | 70 | 60 | 50 | 40 | 30 | 20 | 10 |
|  | NAGYON BLOKKOS - összekapcsolódó, részlegesen töredezett kőzettest, melyet 4 vagy annál több diszkontinuitás szabdalja | | | | | | | | |
|  | BLOKKOS/TÖREDEZETT - töredezett és/vagy gyűrt szögletes kőzettömbökből álló kőzettest, melyet számos diszkontinuitás szabdal | | | | | | | | |
|  | SZÉTESŐ - rosszul összekapcsolódó, erőssen töredezett kőzettest, mely érdes és kopott törmelékekből áll | | | | | | | | |
| | | NAGYON JÓ , Nagyon érdes és üde felülettel, JÓ , Érdes kissé mállott vagy vasfoltos felülettel. TÜRHE TŐ , Sima és/vagy mérsékelten mállott és átalakult felülettel. GYENGE , Símára kopott v. erőssen mállott felületek v. szögletes törmelékkel kitöltött réteg NAGYON GYENGE , Sovány agyaggal kitöltött símára kopott és erőssen mállott felületek | | | | | | | |

2. ábra A GSI meghatározása kiegészítve a gyenge szilárdságú kőzetekre (Hoek et al., 1995 nyomán, Görög et al. 2010 alapján)

Az ábrán a sorokban a kőzettest tagoltsági viszonyai szerepelnek, azaz, hogy milyen gyakorisággal jelennek meg a tagoló felületek a kőzettestben, míg a tagoló felület állapotát az ábra oszlopai mutatják.

| GEOLÓGIAI SZILÁRDSÁGI INDEX (GSI) MEGHATÁROZÁSA | | TAGOLÓFELÜLET ÁLLAPOTA | | | | |
|---|---|-----------------------------|-----|----|-----|-----|
| SZERKEZET | | CSÖKKENŐ FELÜLETI MINŐSÉG → | | | | |
|  | ÉP VAGY TÖMÖR-ép próbatestek, vagy tömör kőzettest néhány ritkán elhelyezkedő diszkontinuitással | 90 | | | N/A | N/A |
|  | BLOKKOS - nagyon jól összekapcsolódó ép kőzettest, mely kocka-tömböket tartalmaz, melyeket három orthogonális diszkontinuitás szabdal | 80 | 70 | | | |
|  | NAGYON BLOKKOS - összekapcsolódó, részlegesen töredezett kőzettest, melyet négy vagy annál több diszkontinuitás szabdal | | 60 | | | |
|  | BLOKKOS / TÖREDEZETT / REPEDEZETT - szögletes kőtömbökből álló gyűrt kőzettest, melyet számos egymást keresztező diszkontinuitás szabdal. Folytonos vagy palás rétegződés. | | | 50 | | |
|  | SZÉTESŐ -rosszul összekapcsolódó, erősen töredezett kőzettest, mely érdes és kopott törmelékből áll | | | | 40 | |
|  | RÉTEGZETT/NYÍRT -blokkosság hiánya a sűrű töredezett palás rétegződés vagy nyírási felületek miatt | | | | | 30 |
| | | | | | | 20 |
| | | | | | | 10 |
| | | N/A | N/A | | | |

3. ábra. A GSI meghatározása kiegészítve a gyenge szilárdságú kőzetekre (Marinos & Hoek 2000)

3. A GSI értékének meghatározása kvantitatív módszerekkel

Mivel a mérnöki számításokhoz szükséges a GSI értékének minél pontosabb ismerete, számos kiszámítási eljárást fejlesztettek ki, melyek alapja a fontosabb kőzettest osztályozási módszerek bemenő paramétereinek felhasználása. Az eddig ismert fontosabb eljárások az alábbiak:

3.1 RMR alapú számítások:

A kőzettömeg geológiai viszonyainak meghatározására szolgáló első megközelítésekben a Bieniawski et. al. (1989) RMR_{1989} -et használták:

$$GSI_1 = RMR_{1989} - 5 = R_1 + R_2 + R_3 + R_4 + R_5 (=15) - 5 \quad (1)$$

ahol

- R_1 - Egyirányú nyomószilárdság (0-15)
- R_2 –RQD érték (3-20))
- R_3 – átlagos tagoltság távolsága (5-20)
- R_4 – repedés menti kőzetminőség (0-30)
- R_5 – víz. Definíció alapján az R_5 száraznak kell tekinteni (=15)

Az RMR_{1989} gyakorlatilag minimum 0 és maximum 100 értékek között változhat, csakúgy mint a GSI.

Így szükséges volt kapcsolatot találni az RMR és a GSI között. Számos tanulmány alapján Hoek et al. (2013) a következő egyszerű képletet javasolta a GSI számításhoz:

$$GSI_2 = 1.5R_4 + 0.5RQD \quad (2)$$

3.2 Q alapú számítások:

Barton által kifejlesztett Q alapú rendszerének alkalmazása, ahol a J_n mint rés szám, J_r rés érdessége és J_a a rés módosítási szám szerepel:

$$GSI_3 = 15 \log \left(\frac{RQD}{J_n} \frac{J_r}{J_a} \right) + 50 \quad (3)$$

Hoek et al. (1995) munkássága alapján ezt az egyenletet a következőképpen kell felírni:

$$GSI_4 = 9 \ln \left(\frac{RQD J_r}{J_n J_a} \right) + 44 \quad (4)$$

Később Hoek et al. (2013) továbbfejlesztette az egyenletet, és azt javasolta, hogy a Q rendszer J_r , J_a és RQD konstansainak alkalmazásával határozzák meg a GSI-t:

$$GSI_5 = \frac{52J_r/J_a}{(1+J_r/J_a)} + 0.5RQD \quad (5)$$

3.3 RMI alapú számítások:

Nem csak Hoek próbált pontosabb megoldást találni a GSI meghatározására. Shen és Barton (1997) kimutatták a kőzetblokkok méretének nagy hatását a kőzet tömegének mechanikai viselkedésére. Palmström elméletét (1995) használják, ahol J_c az együttes állapotok együtthatója, J_p a rés térfogatszámja és V_b a réstérfogat. Ezen együtthatók szerint:

$$GSI_6 = \frac{26.5 + 8.79 \ln J_c + 0.9 \ln V_b}{1 + 0.0151 \ln J_c - 0.0253 \ln V_b} \quad (6)$$

Ezek alapján Russo (2009) a következő egyenletet javasolta:

$$GSI_7 = 153 - \frac{165}{\left[1 + \left(\frac{J_p}{0.19} \right)^{0.44} \right]} \quad (7)$$

Ezek az egyenletek, sok laborban vizsgált próbatesteken végzett mérések eredményei, amikhez elengedhetetlen volt a helyszíni mintavétel, majd a későbbi különböző terheléses vizsgálatok. Jól látható, hogy ezen egyenletek egyik állandó eleme az RQD érték. A Harrison et al (2018) publikált cikk kimutatta, hogy a kőzettömeg tulajdonságaira irányuló objektív mérések alkalmasnak bizonyulnak a GSI probabilisztikus értelmezése alapján a valószínűségi tervezéshez. Ehhez a már korábban említett:

$$GSI = \frac{52(J_r/J_a)}{(1+J_r/J_a)} + 0.5RQD \quad (8)$$

egyenletet vizsgálták. Később kimutatták, hogy a tagoltsági réstérfogat integrálgeometriai meghatározásával egyértelműen beskálázható a kőzettest blokkosodása. A tagoltságok állapota helyszíni csúszási vizsgálatokkal és Schmidt kalapáccsal lettek

megállapítva. A helyszíni vizsgálatokkal és az RQD regisztrálásával ezek a mérések alkalmasak a GSI értékének meghatározására a tervezés korai szakaszában.

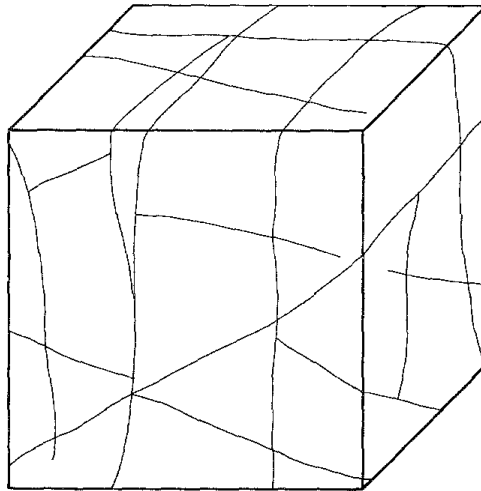
4. Integrál-geometriai módszer bemutatása

Szintén a közzettest tulajdonságait vizsgáló kutatómunka a Beyer és Rolofs et. al. (1981) függetlenül az előbb említett publikációtól, kimutatta a réstérfogat és a blokkosodás közötti összefüggést. Ennek a módszernek hazai bevezetése Gálos (1985) nevéhez fűződik. Az ő méréseik, illetve azok levezetése kerül a következőkben leírásra. Megállapították, hogy lényeges a következők vizsgálata:

- a) az egységnyi területre eső repedések hosszát (az egy területre jutó átlagos törések egydimenziós értékét),
- b) a repedés felületét és annak térfogatát
- c) a rés nyílását és a rés térfogatát
- d) figyelembe kell venni a töréses testek térfogat-függő él hosszát, amelyeket általánosságban lineárisnak tekintünk.

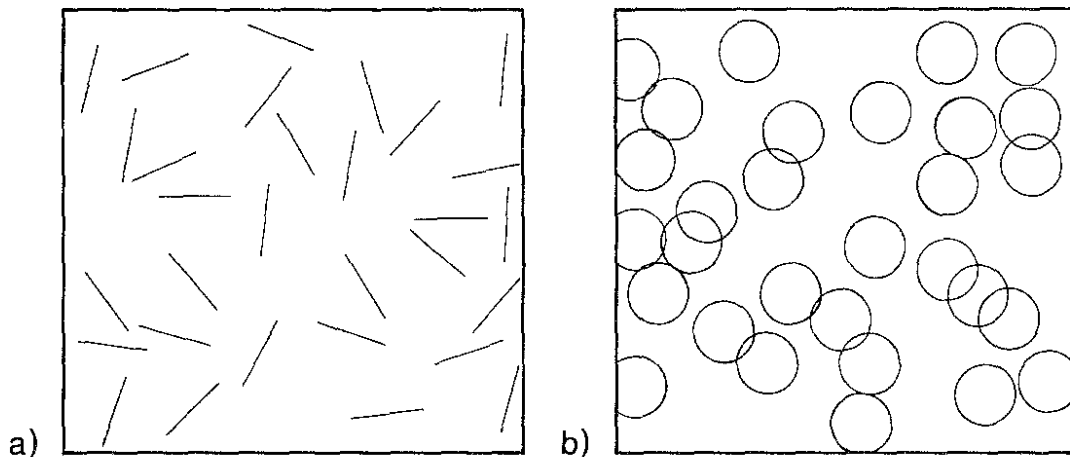
4.1 Mérési módszer

A próbatesten a repedéseket/töréseket, körkörös illetve egyenes szakaszok rácshálózatának beiktatásával kell vizsgálni.



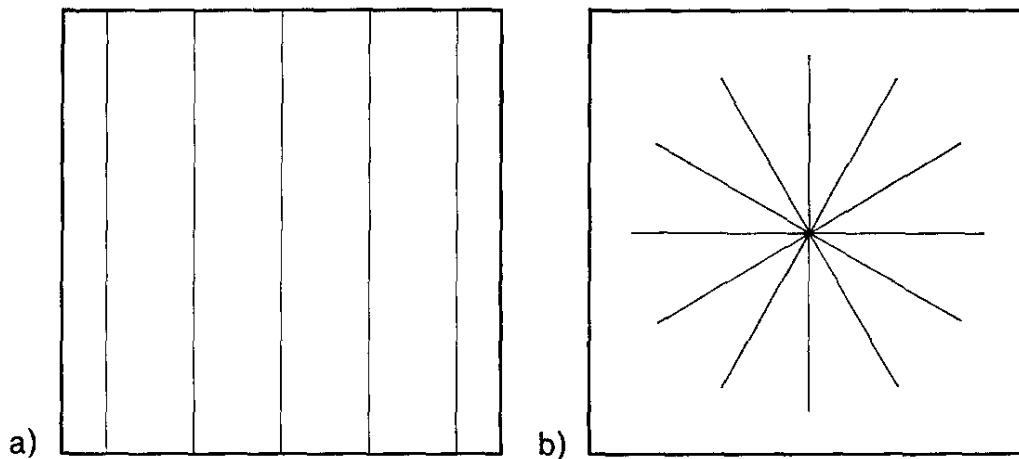
4. ábra Repedezett kőzettest

A repedéseket az előbb említett egyenes szakaszokkal (a) vagy az analóg módon előállított körgyűrűkkel (b) lehet helyettesíteni, később ezekből a repedések tulajdonságaira lehet következtetni. Azonban ezek a rácshálózatok nem teszik lehetővé az anizotrópia kimutatását.



5. ábra Egyenes szakaszok (a) és körgyűrűk (b) rácshálózata

Ehelyett az anizotrópiát egy vonalhálóval (a) illetve annak forgatásával (b) mutathatjuk ki, ahol a vonalak egymáshoz képest 30° -os szöget zárnak be.



6. ábra Anizotrópia függőleges (a) és elforgatott (b) mérővonalai

Saltykov et. al. (1970) szerint a lineáris töredezettség, a repedések területéhez kötődik, amit a L_A fog jelölni:

$$L_A = \frac{\pi}{2} \cdot \frac{N_N}{\sum_{i=1}^r L_i} \left[\frac{m}{m^2} \right] \quad (9)$$

r a vonalak száma

$L_i, i \in \{1, 2, \dots, r\}$ az i -dik vonal hossza [m]

N_N A mérési vonalak és a részvonalak közötti metszéspontok száma, ahol a törések felületnek számítanak

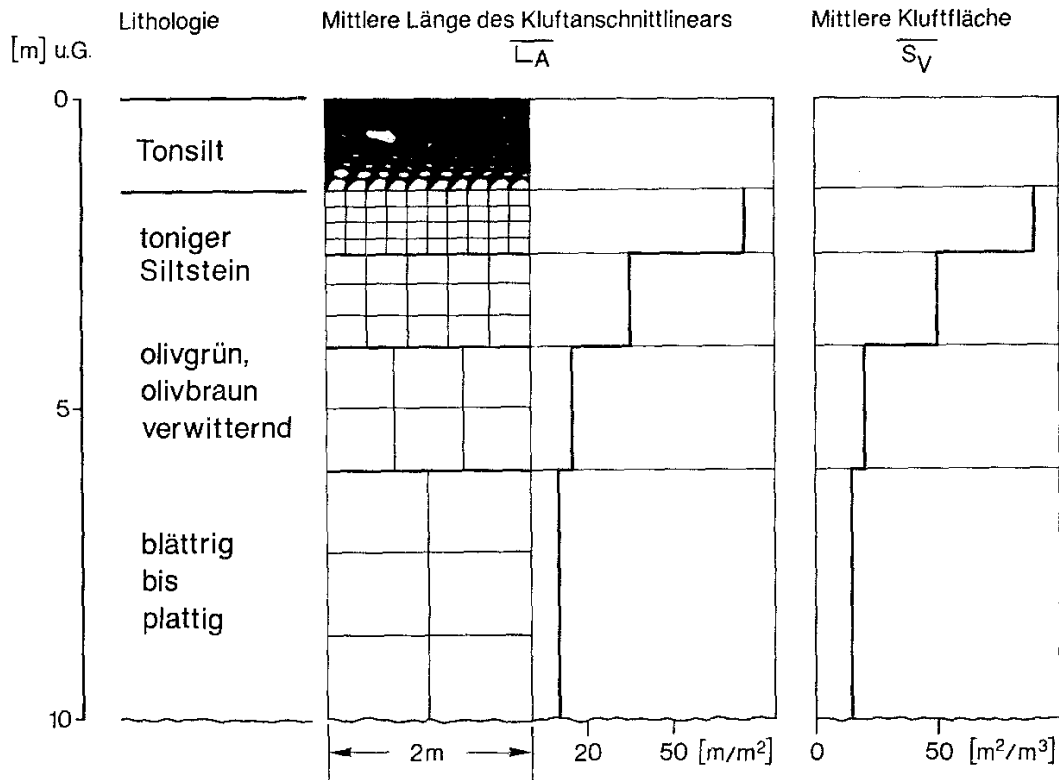
A 7. ábrán a vizsgált feldarabolódási profil a lineáris L_A hossz átlagát veszi figyelembe, az $\overline{L_A}$ -t. A repedés(ek) felületként tekintendők. A $\overline{L_A}$ -n alapuló mérések két közel merőleges felületet, ss és (ac) , használnak, amely felületeket minden egyes lépésben fokozatosan 30° -kal elforgatunk. Ha a mérőfelületek nem egyenlők, akkor a repedés(ek) vetítősíkban ábrázoljuk.

$$\overline{L_A} = \frac{\frac{1}{6} \sum_{j=0}^5 L_a^{(ac)}(j) + \frac{1}{6} \sum_{j=0}^5 L_a^{(ss)}(j)}{2} \quad (10)$$

A réseket/repedéseket egydimenziós struktúraként fogalmazzák meg, ám a repedések maguk is felületek. Másrészt a repedéseket három dimenzióban, realiztikusabban lehet kezelni. Ezután a vágott felületen lévő minden rés két kapcsolódó részvonalat hoz létre. Az így kapott N'_N szám kétszer olyan nagy lesz, mint a felületi részvonalak és a mérési vonalak metszéspontjainak a száma:

$$N'n = 2 Nn.$$

(11)



7. ábra A repedés vonal hossza és a részfelület kapcsolata

Divízió és megosztási felületek

Amint az már az előbbieken említésre került, a repedések felszínnek vagy háromdimenziósnak tekinthetők. A kétdimenziós modellben a térfogategységhez kapcsolódó csúcs S_v , Saltykov et. al. (1970) alapján kiszámítható.

$$S_v = \frac{2N_N}{\sum_{i=1}^r L_i} [m^2/m^3] \quad (12)$$

Három dimenzióban a törések és a törésszervek két különböző fázist hoznak létre Az S'_v közös felületük:

$$S'_v = \frac{2N'_N}{\sum_{i=1}^r L_i} [m^2/m^3] \quad (13)$$

Az S_v és S'_v közötti összefüggés a következő eredményből származik:

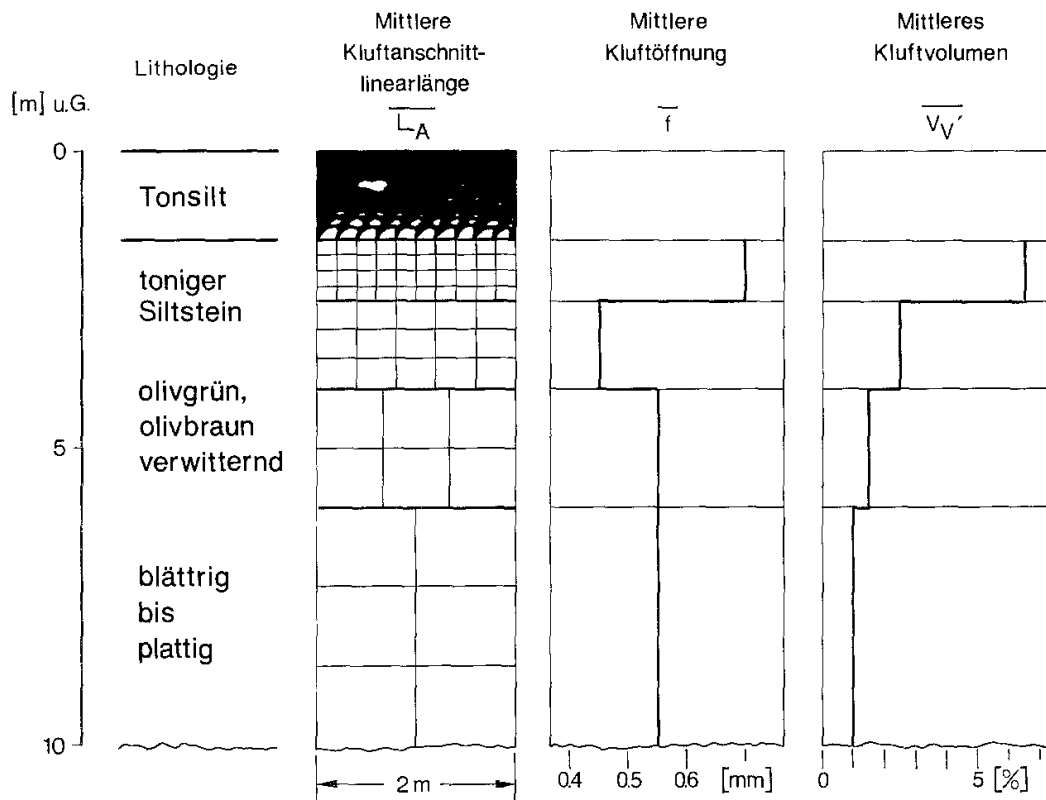
$$S'_v = 2S_v \quad (14)$$

4.2 Tagoltság megnyílása, hézagterfogat

A réstérfogat (azaz a tagoltság megnyílása) az egységnyi térfogathoz viszonyítva:

$$V'_V = \bar{f} \cdot \frac{1}{2} S'_V \text{ [m/m}^3\text{]} \quad (15)$$

ahol \bar{f} az átlagos normál résnyílás



8. ábra A résnyílás és hézagterfogat kapcsolata

Az 8. ábra az átlagos résnyílás és az átlagos réstérfogat kapcsolatát szemlélteti. A mérési felületekre az átlag résnyílást egyes irányokban a

$$\bar{f}^+ = \frac{1}{k} \cdot n \sum_{i=1}^n f_p(i) \quad (16)$$

egyenlet határozza meg.

4.3 Rész élének hossza

A térfogatfüggő él hosszt a következő képlettel lehet kiszámolni:

$$L_V = \frac{2 N_n}{A} [m/m^3] \quad (17)$$

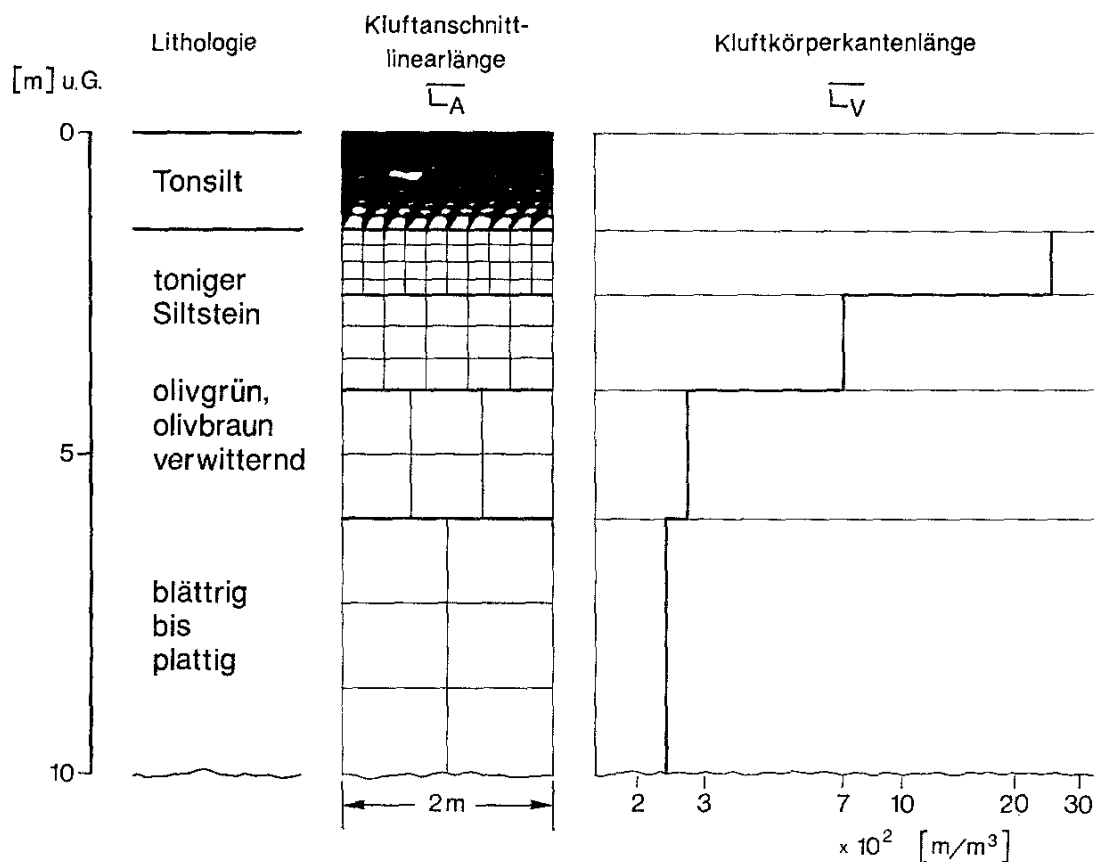
A – a vágott felület mérete

N_n - A törési élek és a vágási felület közötti metszéspontok száma

Ez viszont csak a kétdimenziós repedezettséget mutatja. A háromdimenziós modell a

$$L'_V = \frac{2 N'_n}{A} \quad (18)$$

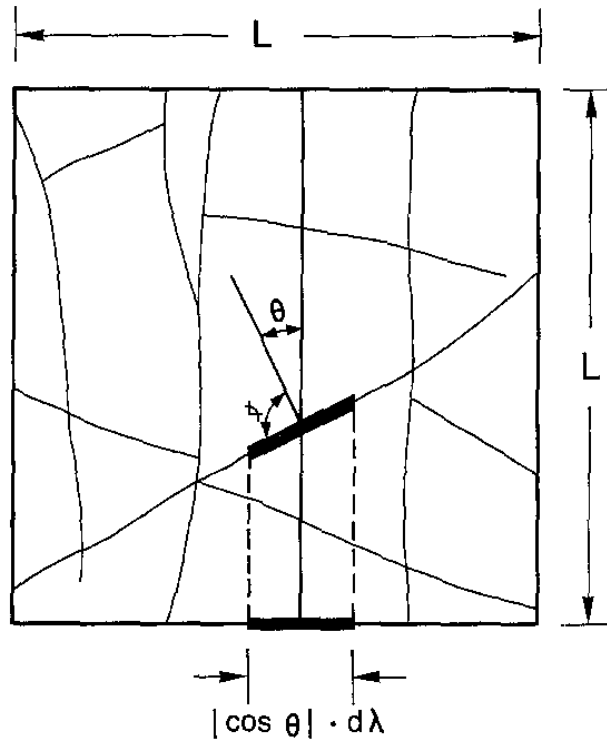
képlet adja. Míg S'_V és S_V között van kapcsolat, addig L_V és L'_V között nincs. Ez azért van, mert a kétdimenziós kép egyik éle a háromdimenziós modellben kettős és többszöri él attól függően, hogy hány frakció van egymással összefüggésben.



9. ábra A repedés hossz és a térfogatfüggő él hossz kapcsolata

4.4 A főbb képletek

Vegyünk egy négyzet alakú felületet, melynek él hossza legyen L , és amelynek az oldala az egyik mérővonallal párhuzamosan van elhelyezve. A rés hossza λ



10. ábra Részvonal hossz

A P_θ valószínűséget, hogy a $d\lambda$ a mérési vonal mentén elvágódik:

$$P_\theta = \frac{d\lambda |\cos \theta|}{L} \quad (19)$$

ahol θ a mérővonal és a $d\lambda$ szakaszra vett normálvektor által bezárt szög.

Ha az összes lehetséges szögre átlagoljuk θ -t, akkor megkapjuk azt a P valószínűséget ahol $d\lambda$ egy önkényesen kiválasztott mérővonaltól levágódik:

$$P = \frac{\int_0^\pi P_\theta d\theta}{\int_0^\pi d\theta} = \frac{2}{\pi} \cdot \frac{d\lambda}{L} \quad (20)$$

Itt azért integrálunk 0 és π között, mert nem teszünk különbséget θ és $\theta + \pi$ között. A korábbiakban taglaltak szerint, a mérési felület felszínével azonos irányba és helyzetbe

egyenletesen elosztjuk az r mérővonalakat, így $d\lambda$ esetén megadható a metszéspontok száma $r \cdot 2d/\pi \cdot L$, amit ha integrálunk, a következő formában kapunk meg:

$$N_N = \frac{2r\lambda}{\pi L} \quad (21)$$

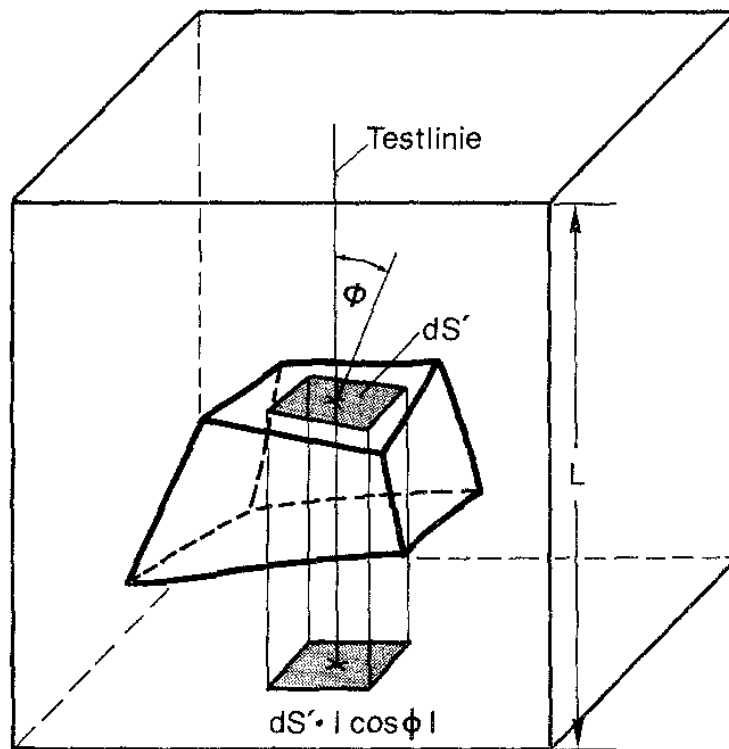
L_A , a felületfüggő rés hosszúság pedig:

$$L_A = \frac{\lambda}{L^2} \quad (22)$$

És ezekből az adódik:

$$L_A = \frac{\pi L N_N}{2r L^2} \quad (23)$$

Vegyünk egy tetszőleges térfogatú, és L él hosszúságú kockát, ahol a repedés felszíne S' , az egyik mérővonallal párhuzamos:



11. ábra Repedésfelület

Egy tetszőleges szelete a repedés felületének, a mérővonal valószínűségével

$$P_\phi = \frac{dS' \cdot |\cos \phi|}{L^2} \quad (24)$$

számítható, ahol ϕ a testvonal és a dS' normált felülete között bezárt szög. A dS' minden irányban vett irányultságának átlagolásával, megkapjuk azt a P valószínűséget, hogy egy tetszőlegesen orientált mérővonalat a dS' felület metsz-e.

$$P = \frac{\int_0^{\pi/2} \int_0^{2\pi} P_\phi d\theta \sin \phi d\phi}{\int_0^{\pi/2} \int_0^{2\pi} d\theta \sin \phi d\phi} = \frac{2\pi \int_0^{\pi/2} |\cos \phi| \sin \phi d\phi}{2\pi} \cdot \frac{dS'}{L^2} = \frac{dS'}{2L^2} \quad (25)$$

Mivel a térben az ellentétes irányok között nem teszünk különbséget, így a csak a térszög felét kell integrálnunk.

Egy r testvonal esetén a $r \cdot dS'/2L^2$ metszéspont a dS' ismeretében kiszámítható. Az egész S' törésfelületre integrálva megkapjuk a,

$$N'_N = \frac{rS'}{2L^2} \quad (26)$$

metszéspontot.

A törésfelület egységnyi térfogatát a következő képlettel írhatjuk le:

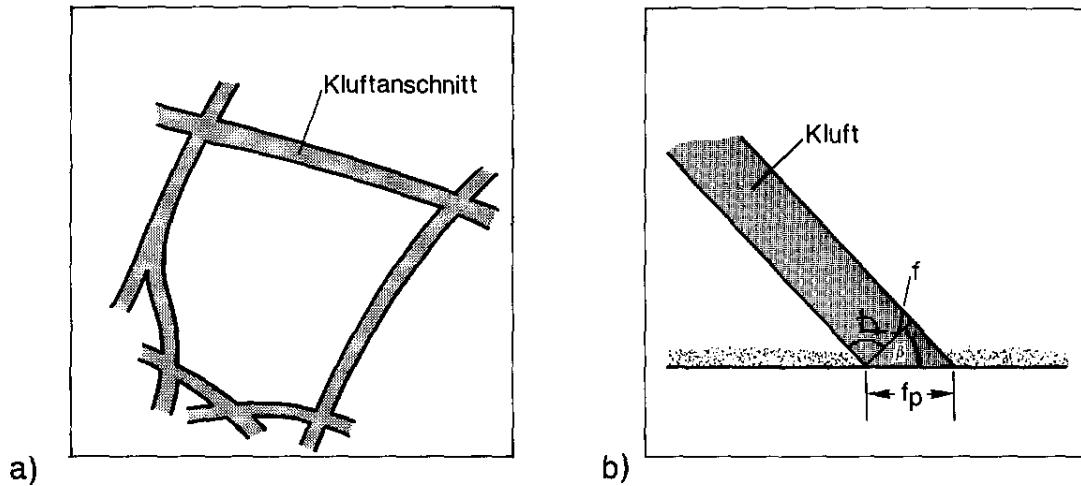
$$S'_V = S'/L^3 \quad (27)$$

amit a $N'_N = \frac{rS'}{2L^2}$ és $S'_V = \frac{2N'_N}{\sum_{i=1}^r L_i}$ képletek összevonásából kapunk.

Helyettesítsük a repedés térfogatát egy kocka alakú, L él hosszúságú próbatest térfogatával:

$$V' = V'_V \cdot L^3 \quad (28)$$

A hézagtérfogat kiszámításához elképzeljük, hogy az egész repedés egyetlen testet képvisel. Kiválasztunk egy olyan prizmat, melynek alapja l^2 és magassága f .



12. ábra Rész (a) és annak helyettesítése (b)

Megmutatható, hogy ez a választás nem befolyásolja jelentősen az eredményt. Használhatunk kör alakú hengert vagy forgási ellipszoidot is. A lényeg, hogy a test lapos legyen, és hogy

$$f \ll l \quad (29)$$

igaz legyen rá.

Így a prizma felülete és térfogata megadható az alábbi módon:

$$2l^2 + 4l \cdot f = S'_V \cdot L^3 \quad (30)$$

$$V'_p = f \cdot l^2 \quad (31)$$

Ezeket az egyenleteket l -re rendezve megadható, hogy

$$V'_p = \frac{1}{2} f \cdot S'_V \cdot L^3 - 2f^2 \sqrt{\frac{1}{2} S'_V \cdot L^3 + f^2} + 2f^3, \quad (32)$$

amely közelítőlegesen:

$$V'_p = \frac{1}{2} f \cdot S'_V \cdot L^3 \quad (33)$$

A vágási felületen mért látszólagos hézagok f_p általában nagyobbak, mint az igazi hézagok f , így felírható a

$$f_p = \frac{f}{\cos \beta} \quad (34)$$

ahol β a vágási felület és a repedés alapfelülete közt bezárt szög. Minden lehetséges β szöget átlagolva 0 és $\pi/2$ között:

$$\frac{\int_0^{\pi/2} \frac{f}{|\cos \beta|} d\beta}{\int_0^{\pi/2} d\beta} \quad (35)$$

Ebből meghatározható egy átlagos látszólagos hézag:

$$\bar{f}_p = \frac{\int_0^{\beta^*} \frac{f}{|\cos \beta|} d\beta}{\int_0^{\beta^*} d\beta} = \frac{\bar{f}}{\beta^*} \ln \left(\frac{1}{\cos \beta^*} + \tan \beta^* \right) \rightarrow \bar{f} = \frac{\bar{f}_p \beta^*}{\ln \left(\frac{1}{\cos \beta^*} + \tan \beta^* \right)} = \frac{1}{k} \cdot \bar{f}_p \quad (36)$$

A β^* a szög felső határa a vágási felület és a normál a vágási felület között. A β^* -nak kisebbnek kell lennie mint $\pi / 2$. β^* -t úgy kell megadni, hogy a mért látszólagos rés nem több, mint tízszerese legyen az igazi résnyílásoknak:

$$f_p \leq f \cdot 10 \quad (37)$$

Ez körülbelül $\beta^* \approx 85^\circ$ estében teljesül.

A maximális szögfüggvény β^* mintáról mintára változhat, ezért egy átlagos kifejezés kell a réstérfogat értékére vonatkozóan:

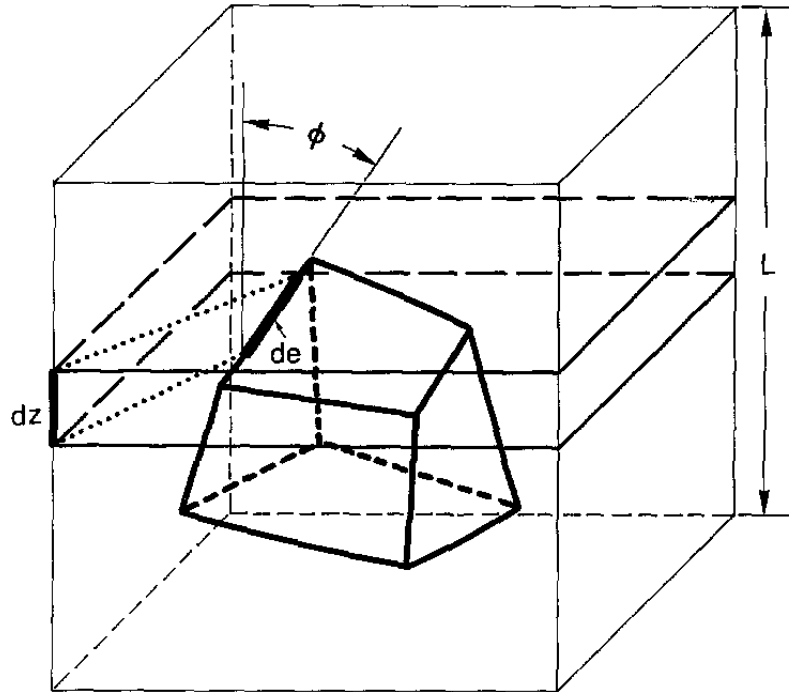
$$V'_V = \frac{1}{k} \cdot \bar{f}_p \frac{1}{2} S'_V \quad (38)$$

ahol k korrekciós faktort minden esetben figyelembe kell venni.

| β^* [°] | k | $1/k$ |
|---------------|------|-------|
| 45 | 1,12 | 0,89 |
| 60 | 1,26 | 0,80 |
| 70 | 1,42 | 0,70 |
| 80 | 1,74 | 0,57 |
| 85 | 2,11 | 0,47 |
| 86 | 2,23 | 0,45 |
| 87 | 2,40 | 0,42 |
| 88 | 2,64 | 0,38 |
| 89 | 3,05 | 0,33 |
| 89,9 | 4,49 | 0,22 |

13. ábra A k korrekciós faktor

A kocka alakú vizsgálati test térfogatát, az L él hosszúságú kocka oldalával párhuzamos vágófelületnek tekintjük. A test teljes él hosszúságát jelölje E (és E' ha a repedéseket/töréseket háromdimenziósnak tekintjük).



14. ábra Repedés él hossz

A vizsgált él hossz egy töredékével, jelölje de , megadható az a P_ϕ valószínűség (ϕ függvényében, ami a de és a tesztfelület normálja közt bezárt szög), hogy a test a repedés mentén elválk.

$$P_\phi = \frac{de \cdot |\cos \phi|}{L} \quad (39)$$

A fél tér feletti integrációval a tájékozódási függőség megoldható. A fél tér elégséges a probléma már említett szimmetriája miatt. A tájékozottságtól független átlagos valószínűség

$$P = \frac{\int_0^{\pi/2} \int_0^{2\pi} P_\phi d\theta \sin \phi d\phi}{\int_0^{\pi/2} \int_0^{2\pi} d\theta \sin \phi d\phi} = \frac{de \cdot 2\pi \int_0^{\pi/2} |\cos \phi| \sin \phi d\phi}{2\pi} = \frac{de}{2L} \quad (40)$$

Ami az összes él hosszra integrálva, megadható a

$$N_n = \frac{E}{2L} \text{ metszéspont. Ebből megadható az egységnyi térfogat él hossza.}$$

$$\frac{E}{L^3} = \frac{2N_n}{L^2} \quad (41)$$

Itt az L^2 -et helyettesíthetjük a már korábban említett A -val, amely a vágott felület nagysága.

$$L_V = \frac{E}{L^3} = \frac{2N_n}{A} \quad (42)$$

Ezek a vizsgálatok megmutatták, hogy a geotechnikailag fontos tulajdonságokat hogyan lehet geometrikusan meghatározni. Egyszerű számítások alkalmazásával történtek az elemzések, melyek gyakorlatilag minden megfigyelés és vizsgálat esetében alkalmazható. A rés tulajdonságainak kiszámításához egyszerű képleteket használhatók, amelyek hagyományos zseb kalkulátorral is elvégezhetők. Ezenkívül a tagoltsági távolság és a résméret-eloszlás, valamint az anizotrópia nagyobb arányú átlagolása is kimutatható.

5. GSI értékének meghatározása az Intergrálgeometriai módszer segítségével

Ahogy az Beyer és Rolofs et. al. (1981) cikkéből kiderül, összefüggés van a kőzet blokkosodása és a réstérfogat között. A terepen végzett mérések és egyszerű számítások ezt igazolnak alátámasztani. Ehhez szükséges ismernünk a mérővonal hálózat vonalainak számát r , az i -dik mérővonal hosszát illetve a mérővonalak és résvonalak metszéspontjainak számát. Ezen adatok ismeretében megállapítható az RQD értéke.

$$RQD = \frac{\sum h_{10}}{h_b - h_a} \cdot 100 [\%] \quad (43)$$

h_{10} - a 10 cm-nél hosszabb darabok hossza

h_b és h_a különbsége jelöli a mérővonal hálózat magasságát

Mérővonal hálózat segítségével az eredetileg fúrómagokból mért RQD értéket, terepi körülmények között is meg lehet határozni, az ismert és mért adatok megfelelő helyre való beillesztésével.

A 1. képen egy 100x100 cm-es mérővonal hálózattal való mérés látható, ahol a mérővonalak száma ismert, 6, minden i -dik mérővonal hossza megállapítható, illetve megfigyelhetők a mérővonalak és a résvonalak metszéspontjai.



1. kép Példa mérővonal hálózatos mérésre

Harrison et. al. (2018) alapjául véve ahol a GSI értékét a

$$GSI = \frac{52(J_r/J_a)}{(1+J_r/J_a)} + 0.5RQD \quad (44)$$

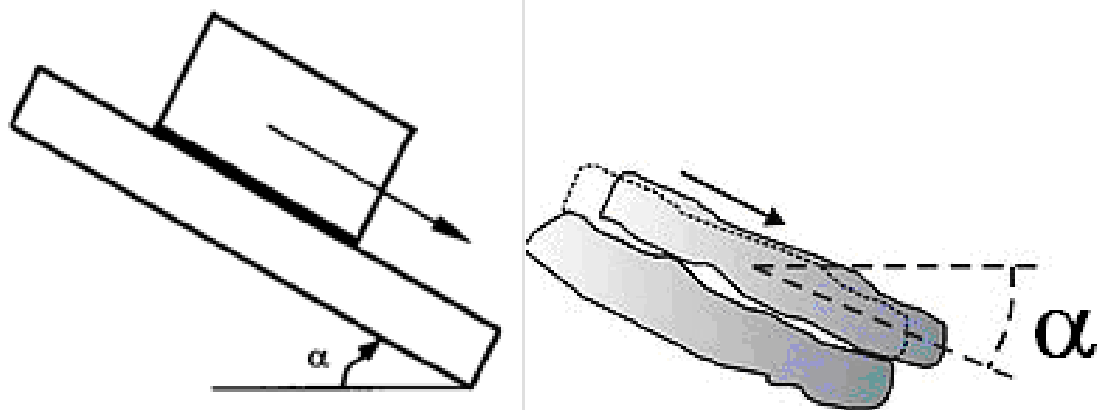
egyenlettel, illetve annak átírásával kívánták elérni. Az ő átírásukban a képlet a következőképp szerepel:

$$GSI = \frac{52 + \tan \phi_a}{1 + \tan \phi_a} + \frac{RQD}{2} \quad (45)$$

ahonnan

$$\phi_a = JRC \log_{10} \left(\frac{JCS}{\sigma_n} \right) + \phi_r \quad (46)$$

Barton és Choubey et. al. (1977) alapján tudjuk, hogy így a (44), (45) képlet első tagja meghatározható a csúszási szög illetve az L-típusú Schmidt kalapáccsal mért visszapattanási érték ismeretében.

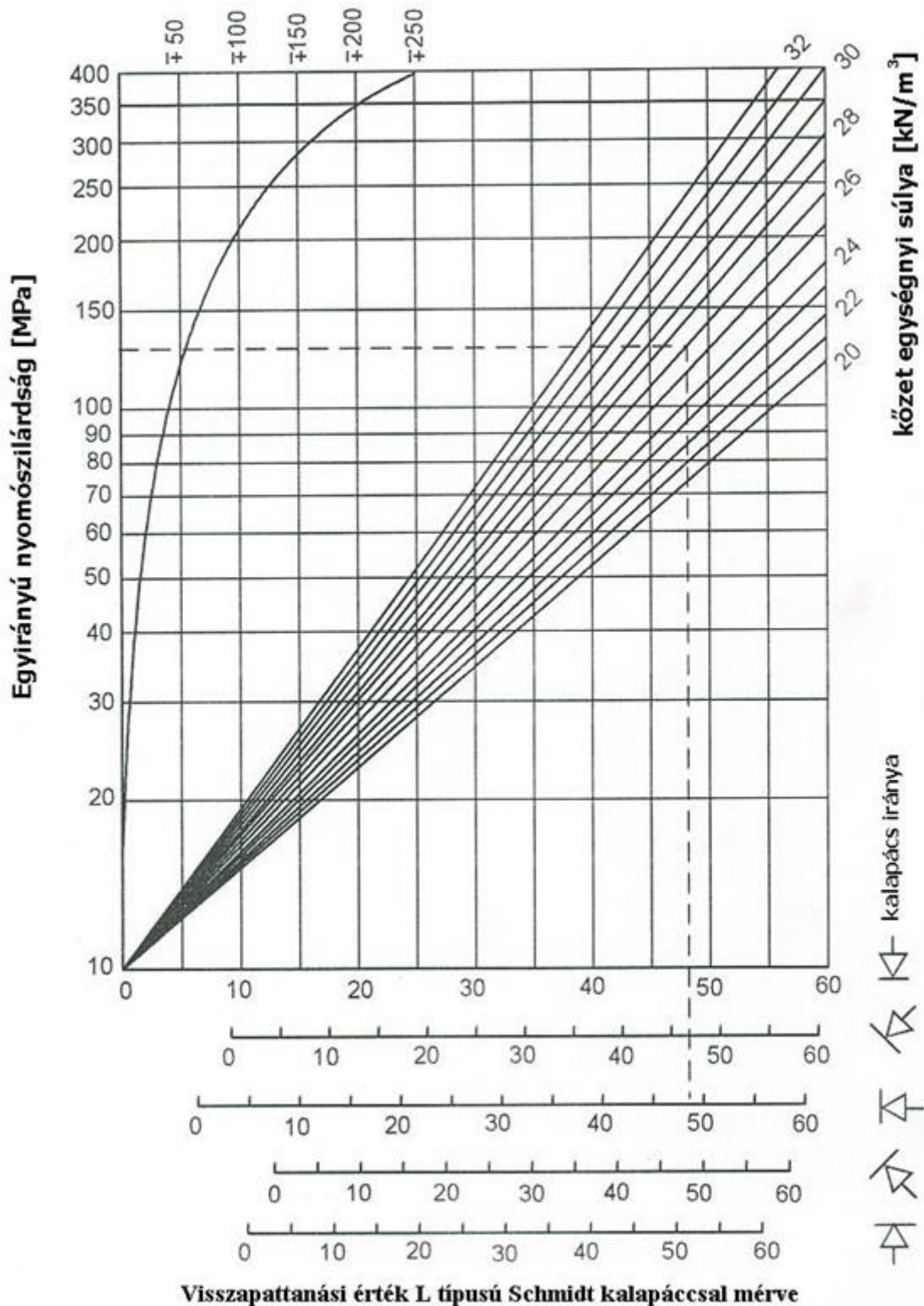


15. ábra Csúszásos vizsgálat elve



2. kép Mérés L-típusú Schmidt kalapáccsal

átlag kőzet szilárdságának
szórása [MPa]



16. ábra Az L-típusú Schmidt kalapács visszapattanási érték és a tagoló felület nyomószilárdsága közötti kapcsolat (Barton & Bandis, 1982)

6. Vizsgált területek geológiai bemutatása

6.1 Csobánka Csúcs-hegyi kőfejtő



3. kép Csobánka Csúcs-hegyi kőfejtő

A Csúcs-hegyen lévő, felhagyott kőfejtőben helyenként meszes, máshol vasas cementáltságú, vörös színű, finom szemcsés, jól osztályozott oligocén homokkő található. A kőzet erősen repedezett, a repedések nagy részben főleg függőlegesek, illetve hidrotermális kitöltések figyelhetők meg bennük. A kitöltések elsősorban baritot és vasoxidokat tartalmaznak. Kivételes barit kristályok találhatóak a bánya tetején lévő sziklapillérből, illetve a körülötte lévő törmelékből. A barit főként vastagtáblás formában jelenik meg, helyenként csoportba rendeződött vékony táblák fedezhetők fel. A barit mellett goethit található, mely apró gumók formájában jelenik meg. Habár a terület repedezett a kőzettömbök szilárdsága nem csak a mérések alapján bizonyítható, komoly fizikai munka szükséges egy-egy darab letöréséhez kalapáccsal. A kőfejtő a Táncsics-út végéből induló tanösvényről érhető el. A kőfejtő ÉK-i oldalán fekvő homokkőfal remek mérési felületet biztosított mérővonal hálózatos mérésre.



4. kép Csobánka Csúcs-hegyi kőfejtő RQD érték meghatározása



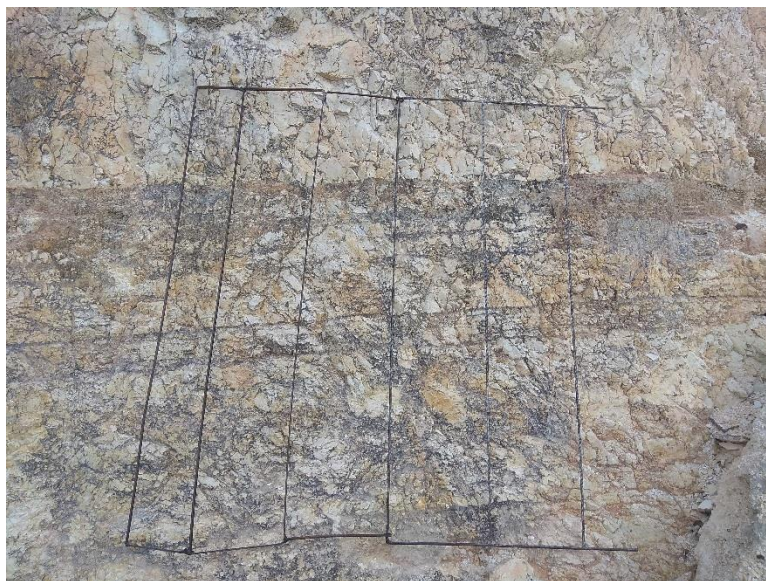
5. kép Csobánka Csúcs-hegyi kőfejtő felülnézetből

6.2 Csobánka Csobánkai út felhagyott kőfejtője



6. kép Csobánka Csobánkai út felhagyott kőfejtő

A Csobánkai út mentén található felhagyott kőfejtő, erősen lepusztult és helyenként dolomitosodott triász korú mészkövet tartalmaz. Méréseink során a meszes cementáltságú, mikrites kőzet alacsony GSI értéket eredményezett.



7. kép Felhagyott kőfejtő falának vizsgálata



8. kép Csobánkai út felhagyott főfejtőjének felülnézete

A kőfejtő területe valószínűsíthetően a környező hegyek, mint például az Oszoly-csúcs lepusztulásának eredménye. A 7. képen jól észrevehetőek a különböző ülepedési rétegek, illetve hogy maga a kőzet erősen és minden irányban repedezett. A terület K-i része tartalmazza a kevésbé töredezett kőzetfelszíneket, a Ny-i oldalon ellenben néhol kézzel is könnyedén bontható a kőfal. Alacsony szilárdsági értéke az előbb említett lepusztulási eredetének, illetve a különböző természeti tényezők eróziójának köszönhető. A beszivárgó esővíz folyamatosan erodálja a területet, sok helyen pedig felfedezhetőek a fagyaprózódás nyomai is.

A helyzetet az sem segít, hogy egy ideje a volt kőfejtő területét szemétkerakónak használják.

6.3 Gánt Újfeltárás



9. kép Gánt Újfeltárás

A Gánti bauxitbánya fekjét triász korú dolomit képezi, a törésvonalak mentén medencék alakultak ki, melyekben helyenként több méteres vastagságban rakódott le a felsőkréta korú bauxit, bauxitos agyag. Erre eocén korú mészkő, mészmárga és agyag települt, az Újfeltárás K-i oldalán vékony széntelepek találhatók, melyek szabályos, sík rétegeket alkotnak. Ezen a területen igen mállékony a kőzet, bontása védett földtani alapszelvény jellegén kívül ezért sem ajánlatos. Az Újfeltárás meredek szilafala ÉNy-tól DK-i irányban húzódik amely mentén jól látható a mészkő, mészmárga és a bauxitos agyag közt húzódó határvonal.

Alulról felfelé haladva gyengül a kőzet szilárdsága, ez következtethető a heterogenitásból, illetve a felszínt érő természetes eróziós folyamatokból. Ennek köszönhetően a repedések helyenként kitágulnak, ahol különböző ásványkiválásokat fedezhetünk fel, mint például gipszet és kalcitot.

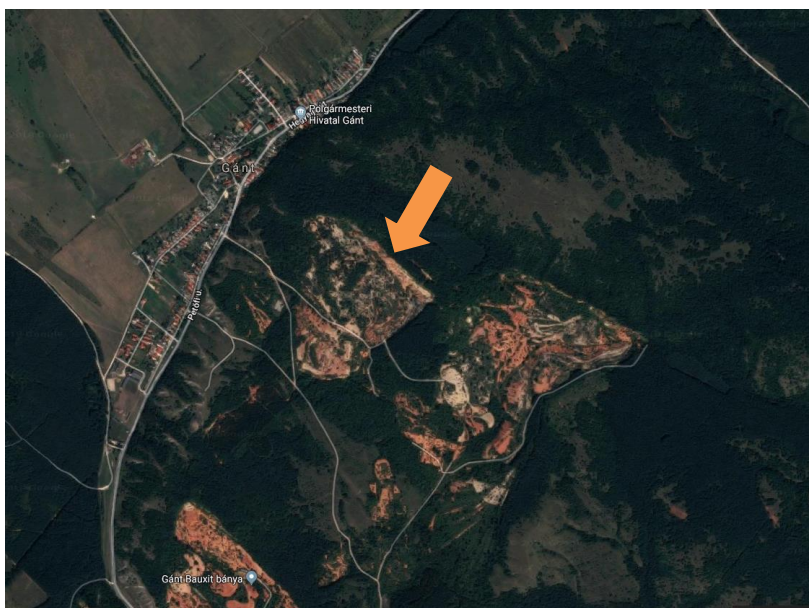


10. kép Helyszíni L-típusú Schmidt kalapácsos mérés

L-típusú Schmidt kalapács mérési hatékonyságát bizonyítandó, grafikus kolléganő mérései szolgáltatott adatokat a kőzet felszíni tulajdonságaival kapcsolatban.



11. kép Gánti rácsvonalas mérés



12. kép Újfeltárás felülnézetből

7. A területeken mért GSI értékek ismertetése

A három helyszínrre a Geológiai Szilárdsági Indexeket a bemutatott módon külön-külön is ismertetem. Mindegyik helyen elvégeztem előbb szemrevételezéssel a GSI meghatározását, majd az Intergrálgeometriai módszer segítségével függetlenül újrászámoltam azokat.

Barton et. al. (1977) képlete alapján a Schmidt kalapáccsal történő mérések az alábbi módon lettek kiértékelve

$$\log JCS \approx 0,88 \gamma R_{n(L)} + 1,01 \quad (47)$$

és Zhang et. al. (2005) gyűjtése alapján a különböző kőztek visszapatantási értékei:

| Kőzet típusa | $R_{n(L)}$ | Kőzet típusa | $R_{n(L)}$ |
|---------------------|------------------------------|---------------------|------------------------------|
| Agyagkő | 15 | Kréta | 10 – 29 |
| Andezit | 28 – 52 | Kvarcit | 39 |
| Bazalt | 35 – 58 | Márga | 18 – 39 |
| Diabáz | 36 – 59 | Márvány | 31 – 47 |
| Dolomit | 40 – 60 | Mészkö | 16 – 59 |
| Gabbró | 49 | Pala | 29 – 41 |
| Gipsz | 30 – 44 | Peridotit | 45 |
| Gneisz | 48 | Prazinit | 41 |
| Gránit | 45 – 56 | Kősó | 23 |
| Homokkő | 30 – 47 | Szerpentinit | 45 |
| Iszapkő | 47 | Tufa | 13 – 40 |

Ez alapján került meghatározásra a terület kőzetkörnyezeti viszonyainak számszerűsítése.

Ezen számítások az alábbiak:

7.1 Csúcs-hegyi kőfejtő

Az L-típusú Schmidt kalapácsos mérések adatait a következő táblázat foglalja magába.

L-típusú Schmidt kalapács mérései:

| | | | |
|-------------|----|-------------|----|
| $R_{1(L)}$ | 40 | $R_{11(L)}$ | 59 |
| $R_{2(L)}$ | 44 | $R_{12(L)}$ | 49 |
| $R_{3(L)}$ | 49 | $R_{13(L)}$ | 52 |
| $R_{4(L)}$ | 53 | $R_{14(L)}$ | 55 |
| $R_{5(L)}$ | 42 | $R_{15(L)}$ | 50 |
| $R_{6(L)}$ | 45 | $R_{16(L)}$ | 48 |
| $R_{7(L)}$ | 46 | $R_{17(L)}$ | 54 |
| $R_{8(L)}$ | 46 | $R_{18(L)}$ | 49 |
| $R_{9(L)}$ | 38 | $R_{19(L)}$ | 50 |
| $R_{10(L)}$ | 44 | $R_{20(L)}$ | 45 |

Amely adatokból került kiszámításra az átlagos felületi szilárdság, illetve annak minimuma és maximuma.

$$R_{20(L)\text{átlag}} = 48$$

$$R_{20(L)\text{min}} = 38$$

$$R_{20(L)\text{max}} = 59$$

Csúszási szög mérései[°]:

| | | | |
|-------------|----|--------------|----|
| ϕ_{a1} | 41 | ϕ_{a6} | 39 |
| ϕ_{a2} | 36 | ϕ_{a7} | 40 |
| ϕ_{a3} | 37 | ϕ_{a8} | 41 |
| ϕ_{a4} | 42 | ϕ_{a9} | 37 |
| ϕ_{a5} | 38 | ϕ_{a10} | 39 |

Ahonnán szintén az átlagolt érték mellett kimutathatjuk a minimum illetve maximum csúszási szöveget.

$$\phi_{a10\text{átlag}} = 39^\circ$$

$$\phi_{a10\min} = 36^\circ$$

$$\phi_{a10\max} = 42^\circ$$

A rácshálóval mértem a kőfal RQD értékét és a következő eredményeket kaptam.

RQD értékek vonalhálózatos mérés alapján[%]:

| | | | | | |
|------------------|----|-------------------|----|-------------------|----|
| RQD ₁ | 86 | RQD ₇ | 92 | RQD ₁₃ | 89 |
| RQD ₂ | 90 | RQD ₈ | 87 | RQD ₁₄ | 91 |
| RQD ₃ | 91 | RQD ₉ | 90 | RQD ₁₅ | 88 |
| RQD ₄ | 89 | RQD ₁₀ | 87 | RQD ₁₆ | 88 |
| RQD ₅ | 86 | RQD ₁₁ | 91 | RQD ₁₇ | 90 |
| RQD ₆ | 92 | RQD ₁₂ | 88 | RQD ₁₈ | 87 |

$$RQD_{18\text{átlag}} = 89 \%$$

$$RQD_{18\min} = 86 \%$$

$$RQD_{18\max} = 92 \%$$

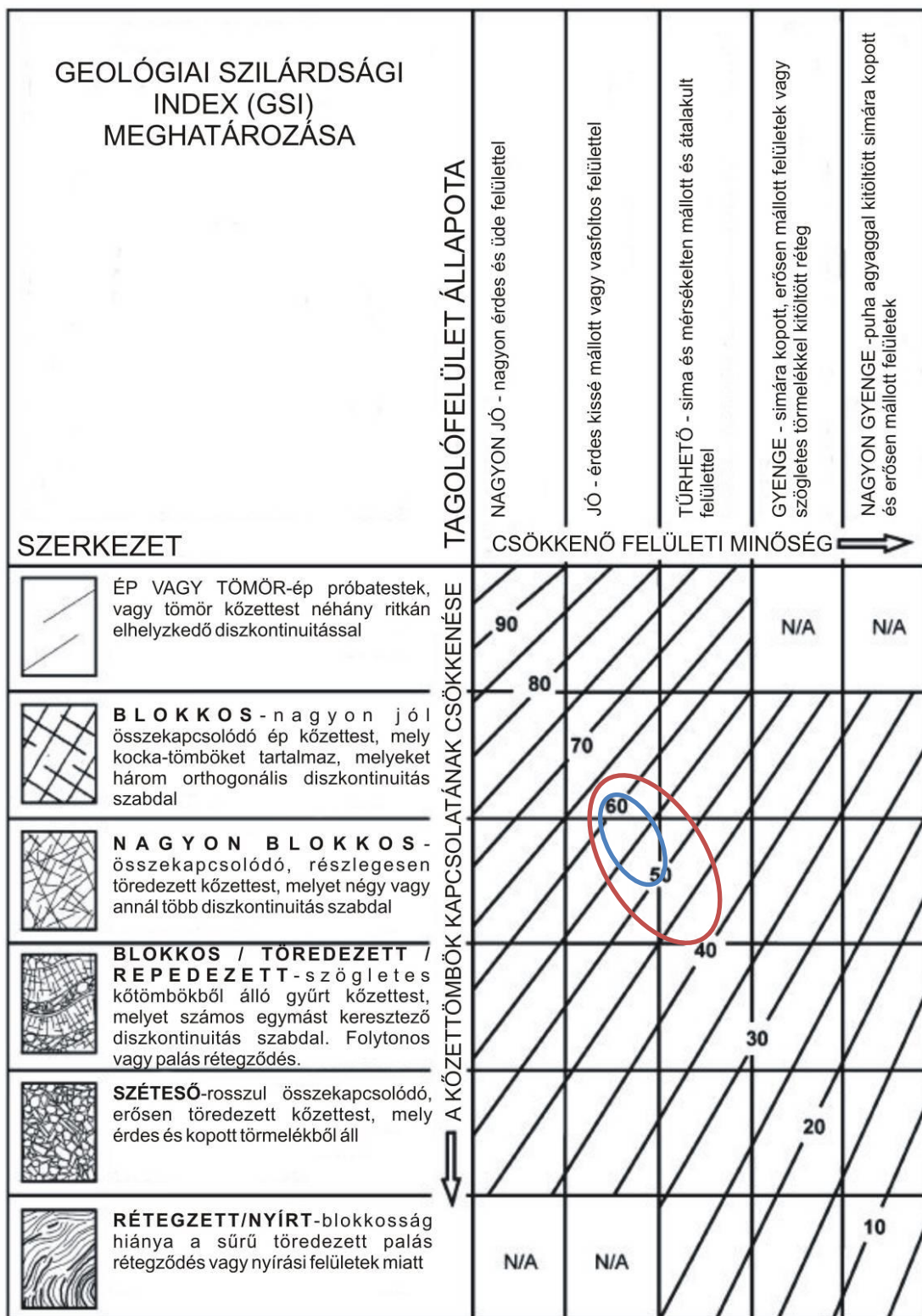
Ezen adatok alapján került meghatározásra:

$$GSI_{\text{átlag}} = 57$$

$$GSI_{\min} = 50$$

$$GSI_{\max} = 63$$

A 17. ábra jól mutatja hogy a szemrevételezett GSI tartomány magába foglalja a tényleges, mért tartományt a területre vonatkozóan.



17. ábra GSI mért (kék) és szemrevételezett (piros) tartománya a Csúcs-hegyi kőfejtőnél

7.2 Csobánkai út felhagyott kőfejtő

A terület nagy mértékben mállott felszínei miatt nehéz volt megfelelő helyet találni a mérésre, ahol sikerült, az onnan szerzett adatok alább lettek rögzítve.

L-típusú Schmidt kalapács mérései:

| | | | |
|-------------|----|-------------|----|
| $R_{1(L)}$ | 16 | $R_{11(L)}$ | 31 |
| $R_{2(L)}$ | 12 | $R_{12(L)}$ | 49 |
| $R_{3(L)}$ | 14 | $R_{13(L)}$ | 23 |
| $R_{4(L)}$ | 19 | $R_{14(L)}$ | 48 |
| $R_{5(L)}$ | 40 | $R_{15(L)}$ | 43 |
| $R_{6(L)}$ | 42 | $R_{16(L)}$ | 40 |
| $R_{7(L)}$ | 48 | $R_{17(L)}$ | 20 |
| $R_{8(L)}$ | 24 | $R_{18(L)}$ | 13 |
| $R_{9(L)}$ | 48 | $R_{19(L)}$ | 15 |
| $R_{10(L)}$ | 32 | $R_{20(L)}$ | 13 |

$$R_{20(L)\text{átlag}} = 29.5$$

$$R_{20(L)\text{min}} = 12$$

$$R_{20(L)\text{max}} = 49$$

A csúszási szög érése alapján meghatározásra került annak átlaga, valamint alsó és felső határa.

Csúszási szög mérései[°]:

| | | | |
|-------------|----|--------------|----|
| ϕ_{a1} | 39 | ϕ_{a6} | 39 |
| ϕ_{a2} | 36 | ϕ_{a7} | 40 |
| ϕ_{a3} | 41 | ϕ_{a8} | 37 |
| ϕ_{a4} | 38 | ϕ_{a9} | 37 |
| ϕ_{a5} | 42 | ϕ_{a10} | 41 |

$$\phi_{a10\text{átlag}} = 39^\circ$$

$$\phi_{a10\text{min}} = 36^\circ$$

$$\phi_{a10\text{max}} = 42^\circ$$

RQD értékek vonalhálózatos mérés alapján[%]:

| | | | | | |
|------------------|----|-------------------|----|-------------------|----|
| RQD ₁ | 37 | RQD ₇ | 43 | RQD ₁₃ | 40 |
| RQD ₂ | 41 | RQD ₈ | 37 | RQD ₁₄ | 42 |
| RQD ₃ | 44 | RQD ₉ | 41 | RQD ₁₅ | 39 |
| RQD ₄ | 40 | RQD ₁₀ | 38 | RQD ₁₆ | 39 |
| RQD ₅ | 37 | RQD ₁₁ | 42 | RQD ₁₇ | 41 |
| RQD ₆ | 43 | RQD ₁₂ | 39 | RQD ₁₈ | 37 |

A mérések után a következőket lehetett levonni:

$$RQD_{\text{átlag}} = 40\%$$

$$RQD_{\text{min}} = 37\%$$







$$RQD_{\text{max}} = 44\%$$

Ahogy arra számítani lehetett a terepi szemrevételezésből, a kőzet alacsony GSI értékeket mutatott, ezt az összefüggést a 18. ábra is jól példázza.

$$GSI_{\text{átlag}} = 32$$

$$GSI_{\text{min}} = 25$$

$$GSI_{\text{max}} = 39$$

| GEOLÓGIAI SZILÁRDSÁGI INDEX (GSI) MEGHATÁROZÁSA | | TAGOLÓFELÜLET ÁLLAPOTA | | | | |
|---|---|-----------------------------|-----|--|-----|-----|
| SZERKEZET | | CSÖKKENŐ FELÜLETI MINŐSÉG → | | | | |
|  | ÉP VAGY TÖMÖR-ép próbatestek, vagy tömör kőzettest néhány ritkán elhelyezkedő diszkontinuitással | 90 | | | N/A | N/A |
|  | BLOKKOS - nagyon jól összekapcsolódó ép kőzettest, mely kocka-tömböket tartalmaz, melyeket három orthogonális diszkontinuitás szabdal | 80 | | | | |
|  | NAGYON BLOKKOS - összekapcsolódó, részlegesen töredezett kőzettest, melyet négy vagy annál több diszkontinuitás szabdal | 70 | | | | |
|  | BLOKKOS / TÖREDEZETT / REPEDEZETT - szögletes kőtömbökből álló gyűrt kőzettest, melyet számos egymást keresztező diszkontinuitás szabdal. Folytonos vagy palás rétegződés. | 60 | | | | |
|  | SZÉTESŐ -rosszul összekapcsolódó, erősen töredezett kőzettest, mely érdes és kopott törmelékből áll | 50 | | | | |
|  | RÉTEGZETT/NYÍRT -blokkosság hiánya a sűrű töredezett palás rétegződés vagy nyírási felületek miatt | 40 | | | | |
| | | 30 | | | | |
| | | 20 | | | | |
| | | 10 | | | | |
| | | N/A | N/A | | | |

18. ábra GSI mért (kék) és szemrevételezett (piros) tartománya a Csobánkai út felhagyott kőfejtőjében

7.3 Gánt Újfeltárás

A Gánton mért eredmények táblázatos formában kerültek ábrázolásra. L-típusú Schmidt kalapács mérései:

| | | | |
|-------------|----|-------------|----|
| $R_{1(L)}$ | 30 | $R_{11(L)}$ | 36 |
| $R_{2(L)}$ | 45 | $R_{12(L)}$ | 48 |
| $R_{3(L)}$ | 32 | $R_{13(L)}$ | 30 |
| $R_{4(L)}$ | 48 | $R_{14(L)}$ | 44 |
| $R_{5(L)}$ | 36 | $R_{15(L)}$ | 42 |
| $R_{6(L)}$ | 42 | $R_{16(L)}$ | 45 |
| $R_{7(L)}$ | 44 | $R_{17(L)}$ | 30 |
| $R_{8(L)}$ | 22 | $R_{18(L)}$ | 32 |
| $R_{9(L)}$ | 30 | $R_{19(L)}$ | 22 |
| $R_{10(L)}$ | 22 | $R_{20(L)}$ | 22 |

A méréseket követően a következő megállapítások kaptak helyet:

$$R_{20(L)\text{átlag}} = 34$$

$$R_{20(L)\text{min}} = 22$$

$$R_{20(L)\text{max}} = 48$$

A terület egyenetlenségéből és abból adódóan, hogy a kőzet igen egyenetlenül törik, nehéz olyan példányokat találni, melyeken elvégezhető a csúszási szög mérése.

Végül a törmelékben talált két minta szolgáltatta a következő adatokat.

Csúszási szög mérései[°]:

| | | | |
|-------------|----|--------------|----|
| ϕ_{a1} | 37 | ϕ_{a6} | 38 |
| ϕ_{a2} | 36 | ϕ_{a7} | 39 |
| ϕ_{a3} | 41 | ϕ_{a8} | 36 |
| ϕ_{a4} | 38 | ϕ_{a9} | 37 |
| ϕ_{a5} | 40 | ϕ_{a10} | 38 |

A kapott értékekből megállapításra kerültek a következő eredmények:

$$\phi_{a10\text{átlag}} = 38^\circ$$

$$\phi_{a10\text{min}} = 36^\circ$$

$$\phi_{a10\text{max}} = 41^\circ$$

RQD értékek vonalhálózatos mérés alapján[%]:

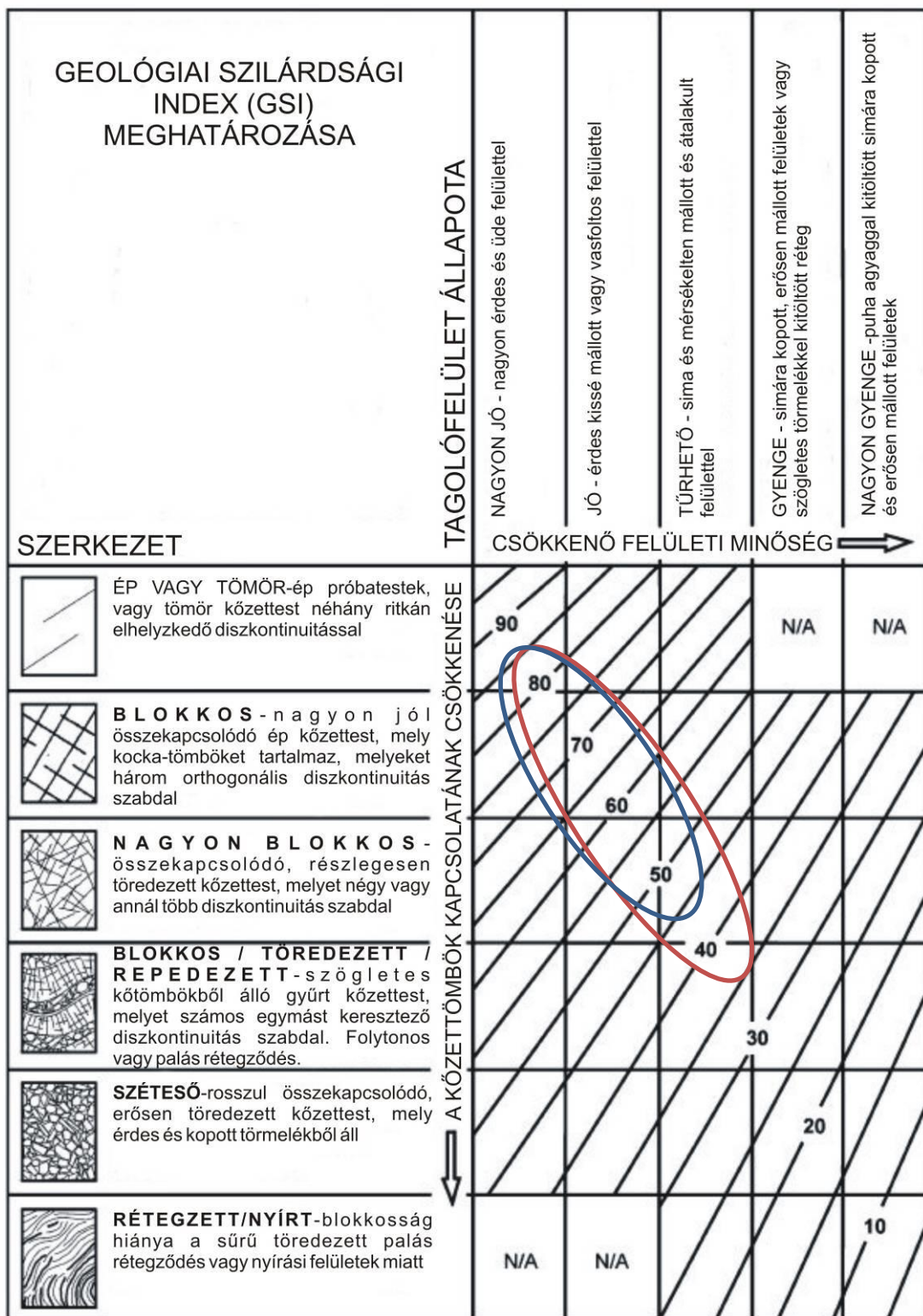
| | | | | | |
|------------------|----|-------------------|----|-------------------|----|
| RQD ₁ | 75 | RQD ₇ | 79 | RQD ₁₃ | 77 |
| RQD ₂ | 84 | RQD ₈ | 80 | RQD ₁₄ | 85 |
| RQD ₃ | 82 | RQD ₉ | 84 | RQD ₁₅ | 81 |
| RQD ₄ | 79 | RQD ₁₀ | 85 | RQD ₁₆ | 79 |
| RQD ₅ | 78 | RQD ₁₁ | 74 | RQD ₁₇ | 78 |
| RQD ₆ | 83 | RQD ₁₂ | 75 | RQD ₁₈ | 82 |

Az így kapott értékekből lett megadva az átlag, valamint a minimum és maximum értéke a kőzet minőségi tényezőjének.

$$RQD_{\text{átlag}} = 80\%$$

$$RQD_{\text{min}} = 74\%$$

$$RQD_{\text{max}} = 84\%$$



19. ábra GSI mért (kék) és szemrevételezett (piros) tartománya Gánt Újfeltárás területén

Gánt Újfeltárásnál mért GSI értékek nem teljesen fedik a szemrevételezés tartományát, ez abból adódik, hogy a mérések a sziklafal alján zajlottak, ahol a szilárdabb kőzet található, míg a szemrevételezésnél az egész alapszelvényre lett megállapítva egy szilárdsági tartomány.

$$GSI_{\text{átlag}} = 80$$

$$GSI_{\text{min}} = 44$$

$$GSI_{\text{max}} = 87$$

8. Összefoglalás

Napjainkban a kőzettestek minősítése a legtöbb esetben a Geológiai Szilárdsági Index (GSI) segítségével történik. A kőzetkörnyezetben való tervezésnél ezen értéket a geológus (mérnökgeológus) biztosítja a tervező mérnöknek, aki az erre épülő Hoek-Brown törési határgörbét alkalmazva készíti el terveit. Az optimális tervezéshez szükséges a a GSI minél pontosabb, minél jobb meghatározása. A cél az volt, hogy a tervezés korai szakaszában, a geológus terepi mérések és megfigyelések alapján adatot tudjon szolgáltatni a mérnök részére, az adott terület GSI értékének megadásával.

Jelen dolgozat célja volt egy olyan módszer kidolgozása, melynek segítségével a GSI értéke pontosabban meghatározható. Az ún. Integálgeometriai módszer segítségével lehetőség nyílik a GSI tagoltságának töredezettségének pontos számszerűsítésére.

Két egymástól független cikk összehangolásával (Harrison et al, 2018, valamint Beyer és Rolofs, 1981) bebizonyítottuk, hogy a GSI érték pontosan számítható a terepi mérések megadásával, illetve a hézagterefogat és a blokkosodás közti összefüggés megállapításával.

Három, egymástól független területen végzett mérési eredmény összevetése azt mutatja, hogy a bemutatott eljárás jól használható a jövőben is.

Irodalom:

- Barton N.; Lien R.; Lunde J. 1974: Engineering classification of rock masses for the design of tunnel support. *Rock Mech. Rock Engng.* **7**: 183-236
- Beyer F.; Rolofs F. 1981: Integralgeometrische Bestimmung geotechnisch wichtiger Kulfteigenschaften. *Rock Mech.* **14**(1): 43-56.
- Bieniawski Z.T. 1973: Engineering classification of rock masses. *Trans S. African Inst. Civil Engng.* **15**: 335-344.
- Bieniawski Z.T. 1976: *Rock mass classification in rock engineering*. In: Bieniawski Z.T. (Ed.), *Exploration for rock engineering*, 1: 97-106.
- Bieniawski Z.T. 1979: *The geomechanics classification in rock engineering applications*. Proc. 4. ISRM Cong. Montreux, 2:41-48.
- Bieniawski Z.T. 1989: *Engineering rock mass classification* Wiley 251 p.
- Deere D.U. 1964: Technical description of rock cores for engineering purposes. *Rock Mech. & Engng. Geol.* **1**: 17-22
- Deere D.U. 1989: Rock quality designation (RQD) after 20 years. US Army Corps. Engrs Rep. GL-89-1.
- Eurocode 1997-1: *Geotechnikai tervezés, 1: Általános szabályok*.
- Gálos M. 1985: A közzettagoltság meghatározásának és ábrázolásának módszerei. *Mélyépítéstudományi Szemle*, **33**(4): 171-176.
- Gálos M.; Vásárhelyi B. 2006: *Közzettestek osztályozása az építőmérnöki gyakorlatban*. Műegyetemi kiadó.
- Görög P.; Vámos M.; Török Á.; Vásárhelyi B. 2010: A Geológiai Szilárdsági Index (GSI) magyarországi alkalmazhatósága. *Földtani Közlöny* **140**(1): 445-468.

- Hoek E.; Marinos P.; Benissi M. 1998: Applicability of the geological strength index (GSI) classification for weak and sheared rock masses – the case of the Athens schist formation. *Bull. Eng. Geol. Env.* **57**(2): 151-160.
- Hoek E.; Marinos P.; Marinos V. 2005: Characterization and engineering properties of tectonically undisturbed but lithologically varied sedimentary rock masses. *Int. J. Rock Mech. Min. Sci.* **42**(2): 277-285.
- Marinos P.; Hoek E. 2000: *GSI: a geologically friendly tool for rock mass strength estimation*. In: Proc. GeoEng2000, Melbourne, Technomic Publ. Lancaster, 1422-1446.
- Marinos P.; Hoek E. 2001: Estimating the geotechnical properties of heterogeneous rock masses such as flysch. *Bull. Eng. Geol. Env.* **60**: 82-92.
- Marinos V.; Marinos P.; Hoek E. 2005: The geological strength index: applications and limitations. *Bull. Eng. Geol. Env.* **64**: 55-65.
- Stille H., Palmström A. 2003: Classification as a tool in rock engineering. *Tunneling & Underground Space Techn.* **18**: 331-345.
- Saltykov, C.A. 1970: Stereometrischeskaja Metallografia. Moskwa: *Isdatelstwo Metallurgija*.
- Vásárhelyi B. 2016: *Az alkalmazott kőzetmechanika alapjai*. Hantken kiadó.